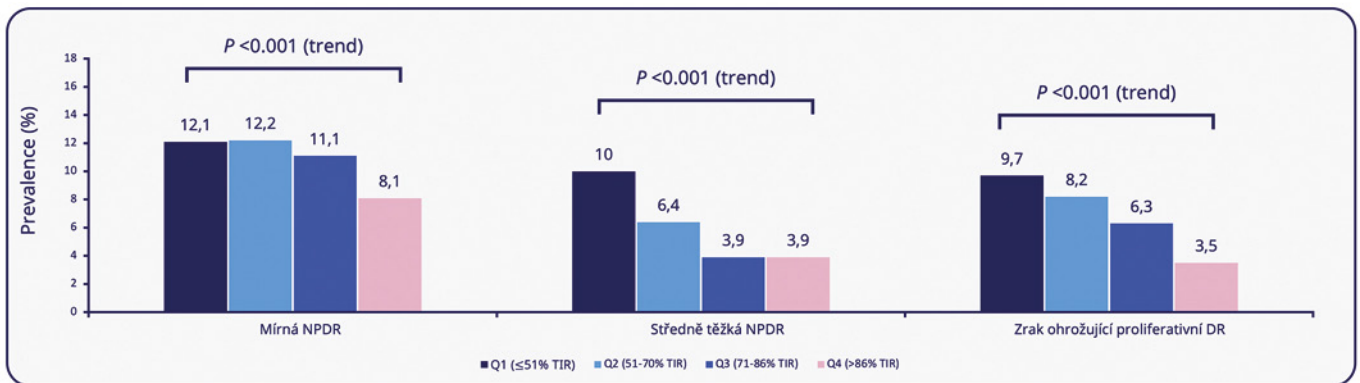


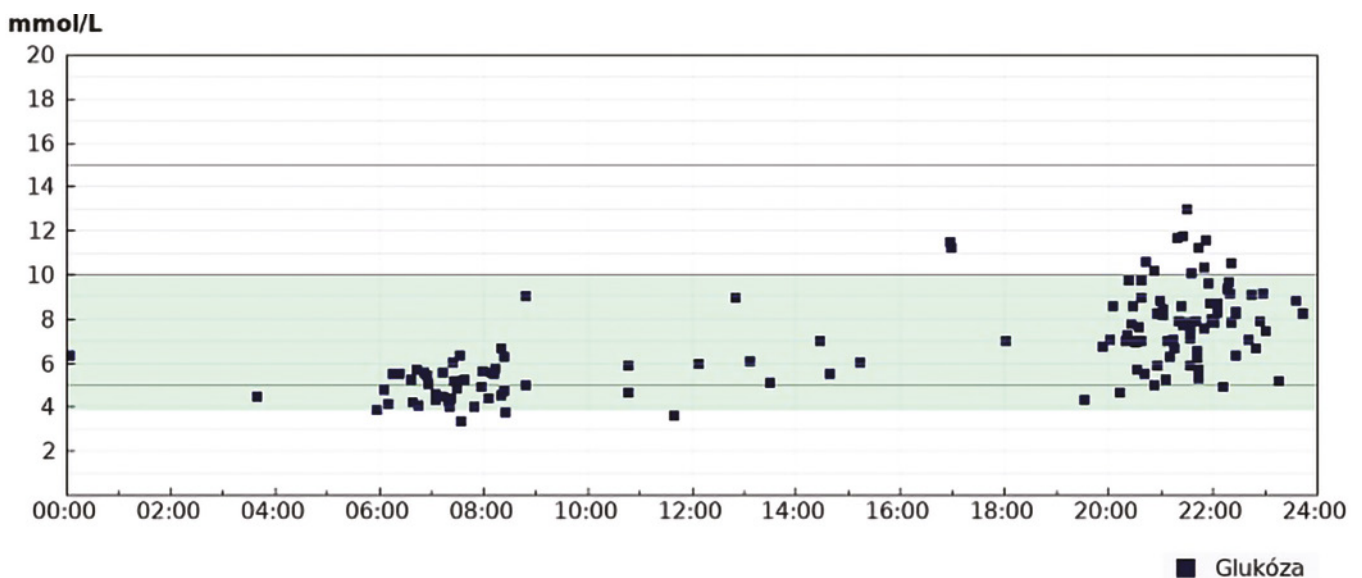
Obr. 4B. TIR a mikrovaskulární komplikace u pacientů s DM 2. typu. TIR byl kalkulován z CGM. Převzato a upraveno podle Lu et al. *Diabetes Care* 2018;41:2370-2376



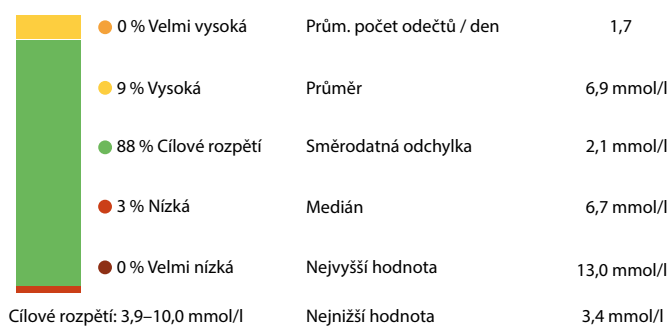
Pacienti s pokročilejšími formami DR měli signifikantně nižší TIR a vyšší variabilitu glykémie

Obr. 5. Srovnání hodnocení TIR kalkulovaného z glukometru a profesionální zaslepené CGM u pacientky s DM léčené intenzifikovaným inzulínovým režimem. Vyjádření „in range“ parametrů kalkulovaných z měření glukometrem je klinicky významně zkráceno chybějícími záznamy měření. Záznam CGM odhaluje zásadní problém – vysokou variabilitu ranní glykémie a zejména výskyt nočních hypoglykemií

Obr. 5A. Points in range z glukometru. Záznam tzv. modálního dne (Diasend) z období 1 měsíce před kontrolou



Obr. 5B. Vyjádření výše uvedeného záznamu pomocí „in range“ parametrů a základní statistické hodnocení, včetně směrodatné odchylky jako parametru popisujícího variabilitu glykemií. Kalkulace variability glykemií z měření glukometrem je ještě méně spolehlivá než vyjádření „in range“ parametrů



strávenými v hyperglykemii (11). Hůř ovšem korelují s časem stráveným v hypoglykemickém pásmu (TBR) (19).

Dobrou kompenzaci diabetu můžeme v klinické praxi efektivně a bezpečně dosáhnout snahou o co nejvyšší TIR a redukcí času stráveného mimo doporučené rozmezí glykemií. Cest k dosažení co nejvyššího TIR je prakticky mnoho, principiálně však optimalizujeme glykémie. Jednak glykémie měřené nalačno, kdy preferenčně využíváme bazální inzulínová analogá 2. generace, která oproti první generaci inzulínů poskytují zejména větší předvídatelnost účinku, bezpečnost ve smyslu rizika výskytu hypoglykemie, což nám dovolí, zejména u osob s DM 2. typu, mířit k ambicióznějším cílům (v případě bazálního inzulínu tedy nižšími glykemiím nalačno, které nejsou vykoupeny vyšším výskytem hypoglykemií, zejména v noci). Srovnáním bazálního inzulínu 2. generace degludeku a inzulínu glarginu U100 se zabývala studie SWITCH PRO, která měla primární cíl parametr TIR (20). TIR byl získán pomocí